

УДК 532.516

МОДЕЛИРОВАНИЕ СВОБОДНОЙ КОНВЕКЦИИ ЖИДКОСТИ В ВЕРТИКАЛЬНОМ КОНУСЕ ПРИ ИЗМЕНЯЮЩИХСЯ ВЯЗКОСТИ И ТЕПЛОПРОВОДНОСТИ

Г. Палани, Е. Ж. Лалит Кумар*, К.-Й. Ким**

Государственный колледж искусств, 600039 Ченнай, Тамилнад, Индия

* Колледж искусств и наук Объединения институтов им. Шри Рамасвами,
Канчипурам, Тамилнад, Индия

** Университет Инха, 402-751 Инчеон, Республика Корея

E-mails: gpalani32@yahoo.co.in, ejlalithkumar@gmail.com, kykim@inha.ac.kr

Рассматривается течение вязкой несжимаемой жидкости вдоль нагретого вертикального конуса с учетом зависимости вязкости и теплопроводности от температуры. Вязкость и теплопроводность жидкости считаются экспоненциальной и линейной функциями температуры соответственно. Исходные уравнения для ламинарной свободной конвекции жидкости приводятся к безразмерным дифференциальным уравнениям с частными производными, которые решаются с использованием неявной конечно-разностной схемы Крэнка — Николсона. Получены зависимости параметров течения от вязкости и теплопроводности жидкости.

Ключевые слова: свободная конвекция, изменяющиеся вязкость и теплопроводность, вертикальный конус.

DOI: 10.15372/PMTF20160311

Введение. Интерес к исследованию свободной конвекции под влиянием гравитационных сил обусловлен тем, что это явление встречается в природе и используется в различных технических устройствах. Если нагретая поверхность контактирует с жидкостью, то вследствие различия их температур возникают силы плавучести, которые и порождают свободную конвекцию. Причиной перемещений воздушных масс в атмосфере (ураганы, снежные бури, муссоны) является свободная конвекция. В основном задачи теплопереноса возникают при проектировании ядерных реакторов, солнечных батарей, силовых трансформаторов, парогенераторов и т. д. Существует большое количество работ, в которых рассматривалась задача свободной конвекции в потоке вдоль вертикального конуса. В [1, 2] получены автомодельные решения для случая изотермического конуса, в [3] — для случая, когда температура стенки конуса задается в виде степенной функции расстояния от вершины до стенки вдоль образующей. В работе [4] для случая, описанного в [3], проведено исследование течений жидкостей с малым числом Прандтля, получены численные решения задачи конвекции для жидких металлов и сделан вывод, что для жидкостей с меньшим числом Прандтля толщина пограничного слоя больше. В [5] изучена ламинарная свободная конвекция в вертикальном конусе. В [6] исследован стационарный смешанный конвективный поток через вертикальный конус при значениях числа Прандтля

$Pr = 0,733$ (воздух) и $Pr = 6,8$ (вода). В работах [7, 8] представлены результаты расчетов для случая свободной конвекции потока пограничного слоя жидкости на вращающемся конусе при постоянной или изменяющейся температуре его поверхности. В [9] получены решения задачи о переходной свободной конвекции в ламинарном потоке вязкой несжимаемой жидкости на неизотермическом конусе. Исходные уравнения в безразмерном виде решены методом Крэнка — Николсона. В [10] рассмотрена естественная конвекция потока на неизотермическом вертикальном конусе при воздействии магнитного поля и теплового излучения, с использованием неявной конечно-разностной схемы Крэнка — Николсона решены нелинейные дифференциальные уравнения в частных производных.

Во всех указанных выше работах вязкость и теплопроводность жидкости считались постоянными вдоль всего потока. Однако известно, что при изменении температуры физические свойства жидкости могут существенно меняться [11]. Для более полного изучения поведения потока необходимо учитывать изменения вязкости и теплопроводности при изменении температуры. Зависимости различных физических характеристик жидкостей от температуры приведены в [12]. В работе [13] рассмотрена задача о быстром нагреве или охлаждении потока ньютоновской жидкости в канале, в случае когда зависимость вязкости от температуры имеет полиномиальный или экспоненциальный характер. В [14] исследовано течение вязкой несжимаемой жидкости вдоль нагретой вертикальной пластины с изменяющимися вязкостью и теплопроводностью. Система обыкновенных дифференциальных уравнений решалась аналитически и численно. В [15] изучено течение вязкой несжимаемой жидкости вдоль нагретой вертикальной пластины с учетом изменяющейся вязкости и теплопроводности при наличии магнитного поля. В работе [16] численно исследованы тепловое излучение и теплоперенос в потоке оптически плотной вязкой жидкости через изотермический клин. В [17] изучено влияние теплового излучения и вязкости на свободную конвекцию нестационарного потока на полубесконечной плоской пластине, находящейся в однородном магнитном поле. В [18] исследовано стационарное течение ньютоновской жидкости с вязкостью, зависящей от температуры, при наличии включения, которое равномерно нагревается или охлаждается относительно окружающей среды. Зависимости плотности, вязкости и теплопроводности от температуры в случае свободной конвекции ламинарного стационарного течения в пограничном слое при наличии теплового излучения и значительном изменении температуры изучены в работе [19]. В [20] исследован поток несжимаемой вязкой жидкости на непрерывно движущейся полубесконечной пластине с учетом изменения вязкости и температуры. Влияние теплового излучения и теплопроводности на теплоперенос через растягивающуюся поверхность с изменяющимся тепловым потоком изучено в [21]. В [22] исследованы течение и теплоперенос вязкой несжимаемой электропроводящей жидкости через непрерывно движущуюся бесконечную вертикальную пластину с учетом изменяющейся вязкости. Изменение вязкости и теплопроводности в потоке через нагретую непрерывно движущуюся пористую пластину при наличии магнитного поля изучены в [23]. В работе [24] исследовано влияние скорости химических реакций, термофореза, зависимости вязкости от температуры, а также теплового излучения на тепломассоперенос при свободной конвекции в магнитогидродинамическом потоке вязкой несжимаемой электропроводящей жидкости на внезапно начинающей движение бесконечной наклонной пористой пластине. В [25] проведено численное исследование течения жидкости вдоль вертикальной пластины при изменяющихся вязкости и теплопроводности. Безразмерные исходные уравнения решались численно.

Влияние зависимости вязкости и теплопроводности от температуры проявляется в изменении профилей скорости и температуры. При этом изменяются коэффициенты трения и теплопереноса. В настоящей работе рассматривается задача о свободной конвекции потока вязкой несжимаемой жидкости с изменяющимися вязкостью и теплопроводностью

вдоль изотермического вертикального конуса. Предполагается, что вязкость и теплопроводность жидкости являются экспоненциальной и линейной функциями температуры соответственно. Безразмерные исходные уравнения решаются численно с использованием неявной конечно-разностной схемы. Получены зависимости скорости, температуры, напряжения сдвига и коэффициента теплопереноса от вязкости и теплопроводности.

1. Постановка задачи. Ниже формулируется задача о двумерной нестационарной свободной конвекции ламинарного потока вязкой несжимаемой жидкости с изменяющимися вязкостью и теплопроводностью в вертикальном конусе.

При постановке задачи использованы следующие предположения:

1. Координата x задает расстояние вдоль поверхности конуса от его вершины ($x = 0$), а координата y — расстояние вдоль внешней нормали к поверхности конуса.
2. Рассматривается изотермический вертикальный конус с локальным радиусом r , имеющий полуугол раствора φ . Стенки конуса имеют температуру T'_∞ .
3. Температура окружающей жидкости равна T'_∞ . При $t' > 0$ температура поверхности конуса равна $T'_w > T'_\infty$.
4. Вязкой диссипацией энергии пренебрегается.
5. Все физические свойства жидкости постоянны, за исключением вязкости, которая изменяется по экспоненциальному закону, теплопроводности, которая изменяется по линейному закону в зависимости от температуры жидкости, а также плотности, изменение которой оказывает существенное влияние на свободную конвекцию.

Исходные уравнения неразрывности, импульса и энергии для пограничного слоя рассматриваются в приближении Буссинеска.

С учетом принятых предположений уравнения сохранения в задаче о стационарном двумерном ламинарном пограничном слое записываются в виде

$$\frac{\partial(ru)}{\partial x} + \frac{\partial(rv)}{\partial y} = 0; \quad (1)$$

$$\frac{\partial u}{\partial t'} + u \frac{\partial u}{\partial x} + v \frac{\partial u}{\partial y} = g\beta(T' - T'_\infty) \cos \varphi + \frac{1}{\rho} \frac{\partial}{\partial y} \left(\mu \frac{\partial u}{\partial y} \right); \quad (2)$$

$$\frac{\partial T'}{\partial t'} + u \frac{\partial T'}{\partial x} + v \frac{\partial T'}{\partial y} = \frac{1}{\rho C_p} \frac{\partial}{\partial y} \left(k \frac{\partial T'}{\partial y} \right), \quad (3)$$

где u , v — компоненты скорости в направлениях x и y соответственно; ρ — плотность жидкости; T' — температура жидкости в пограничном слое; t' — время; T'_∞ — температура на бесконечности; β — объемный коэффициент теплового расширения; C_p — удельная теплоемкость; μ — динамическая вязкость; g — ускорение свободного падения; k — теплопроводность жидкости.

Начальные и граничные условия имеют вид

$$\begin{aligned} t' \leq 0: \quad & u = 0, \quad v = 0, \quad T' = T'_\infty, \\ t' > 0: \quad & u = 0, \quad v = 0, \quad T' = T'_w \quad \text{при } y = 0, \\ & u = 0, \quad T' = T'_\infty \quad \text{при } x = 0, \\ & u \rightarrow 0, \quad T' \rightarrow T'_\infty \quad \text{при } y \rightarrow \infty. \end{aligned} \quad (4)$$

Зависимости вязкости и теплопроводности от безразмерной температуры T записываются следующим образом [13, 14, 18, 21, 26]:

$$\mu = \mu_0 e^{-\lambda T}; \quad (5)$$

$$k = k_0(1 + \gamma T). \quad (6)$$

Здесь λ , γ — параметры вязкости и теплопроводности соответственно; μ_0 , k_0 — динамическая вязкость и теплопроводность при температуре T'_w .

Введем следующие безразмерные величины:

$$\begin{aligned} X &= \frac{x}{L}, & Y &= \frac{y}{L} \text{Gr}^{1/4}, & U &= \frac{uL}{\nu} \text{Gr}^{-1/2}, & V &= \frac{vL}{\nu} \text{Gr}^{-1/4}, & t &= \frac{vt'}{L^2} \text{Gr}^{1/2}, \\ R &= \frac{r}{L}, & T &= \frac{T' - T'_\infty}{T'_w - T'_\infty}, & \text{Gr} &= \frac{g\beta L^3 (T'_w - T'_\infty) \cos \varphi}{\nu^2}, & \text{Pr} &= \frac{\mu_0 C_p}{k_0}, & \nu &= \frac{\mu_0}{\rho} \end{aligned} \quad (7)$$

(L — характерная длина; ν — кинематическая вязкость; Gr — число Грасгофа; Pr — число Прандтля; $r = x \sin \varphi$).

Уравнения (1)–(3) приводятся к безразмерной форме

$$\frac{\partial U}{\partial X} + \frac{\partial V}{\partial Y} + \frac{U}{X} = 0; \quad (8)$$

$$\frac{\partial U}{\partial t} + U \frac{\partial U}{\partial X} + V \frac{\partial U}{\partial Y} = T + e^{-\lambda T} \frac{\partial^2 U}{\partial Y^2} - \lambda e^{-\lambda T} \frac{\partial T}{\partial Y} \frac{\partial U}{\partial Y}; \quad (9)$$

$$\frac{\partial T}{\partial t} + U \frac{\partial T}{\partial X} + V \frac{\partial T}{\partial Y} = \frac{1 + \gamma T}{\text{Pr}} \frac{\partial^2 T}{\partial Y^2} + \frac{\gamma}{\text{Pr}} \left(\frac{\partial T}{\partial Y} \right)^2. \quad (10)$$

Соответствующие начальные и граничные условия имеют вид

$$\begin{aligned} t \leq 0: & \quad U = 0, \quad V = 0, \quad T = 0, \\ t > 0: & \quad U = 0, \quad V = 0, \quad T = 1 \quad \text{при } Y = 0, \\ & \quad U = 0, \quad T = 0 \quad \text{при } X = 0, \\ & \quad U \rightarrow 0, \quad T \rightarrow 0 \quad \text{при } Y \rightarrow \infty. \end{aligned} \quad (11)$$

Уравнения (8)–(10) с граничными условиями (11) описывают свободно-конвективный нестационарный ламинарный поток в пограничном слое с изменяющимися вязкостью и теплопроводностью вдоль изотермического полубесконечного вертикального конуса.

2. Численный метод. Двумерные нелинейные нестационарные дифференциальные уравнения в частных производных (8)–(10) с начальными и граничными условиями (11) решаются с помощью неявной конечно-разностной схемы Крэнка — Николсона, которая является быстроходящейся и безусловно устойчивой.

Ниже приведены конечно-разностные уравнения, соответствующие уравнениям (8)–(10):

$$\begin{aligned} & \frac{U_{i,j}^{m+1} - U_{i-1,j}^{m+1} + U_{i,j}^m - U_{i-1,j}^m + U_{i,j-1}^{m+1} - U_{i-1,j-1}^{m+1} + U_{i,j-1}^m - U_{i-1,j-1}^m}{4 \Delta X} + \\ & + \frac{V_{i,j}^{m+1} - V_{i,j-1}^{m+1} + V_{i,j}^m - V_{i,j-1}^m}{2 \Delta Y} + \frac{U_{i,j}^{m+1} + U_{i,j-1}^{m+1} + U_{i,j}^m + U_{i,j-1}^m}{4i \Delta X} = 0; \end{aligned} \quad (12)$$

$$\begin{aligned} & \frac{U_{i,j}^{m+1} - U_{i,j}^m}{\Delta t} + U_{i,j}^m \frac{U_{i,j}^{m+1} - U_{i-1,j}^{m+1} + U_{i,j}^m - U_{i-1,j}^m}{2 \Delta X} + \\ & + V_{i,j}^m \frac{U_{i,j+1}^{m+1} - U_{i,j-1}^{m+1} + U_{i,j+1}^m - U_{i,j-1}^m}{4 \Delta Y} = \frac{1}{2} (T_{i,j}^{m+1} + T_{i,j}^m) + \\ & + e^{-\lambda(T_{i,j}^{m+1} + T_{i,j}^m)/2} \frac{U_{i,j-1}^{m+1} - 2U_{i,j}^{m+1} + U_{i,j+1}^{m+1} + U_{i,j-1}^m - 2U_{i,j}^m + U_{i,j+1}^m}{2(\Delta Y)^2} - \\ & - \lambda e^{-\lambda(T_{i,j}^{m+1} + T_{i,j}^m)/2} \frac{T_{i,j+1}^{m+1} - T_{i,j-1}^{m+1} + T_{i,j+1}^m - T_{i,j-1}^m}{4 \Delta Y} \frac{U_{i,j+1}^{m+1} - U_{i,j-1}^{m+1} + U_{i,j+1}^m - U_{i,j-1}^m}{4 \Delta Y}; \end{aligned} \quad (13)$$

Значения локального поверхностного трения τ и числа Нуссельта Nu в точке $X = 1,0$ для стационарного течения при $n = 0$, $\lambda = 0$, $\gamma = 0$, полученные в данной работе и работе [4]

Pr	τ		Nu	
	Данные [4]	Данные настоящей работы	Данные [4]	Данные настоящей работы
0,1	1,096 00	1,102 36	0,211 30	0,209 22
0,7	0,819 50	0,825 66	0,451 10	0,447 71
1,0	0,769 40	0,775 24	0,510 40	0,506 70

$$\begin{aligned} & \frac{T_{i,j}^{m+1} - T_{i,j}^m}{\Delta t} + U_{i,j}^m \frac{T_{i,j}^{m+1} - T_{i-1,j}^{m+1} + T_{i,j}^m - T_{i-1,j}^m}{2 \Delta X} + V_{i,j}^m \frac{T_{i,j+1}^{m+1} - T_{i,j-1}^{m+1} + T_{i,j+1}^m - T_{i,j-1}^m}{4 \Delta Y} = \\ & = \frac{1 + \gamma T_{i,j}^m}{Pr} \frac{T_{i,j-1}^{m+1} - 2T_{i,j}^{m+1} + T_{i,j+1}^{m+1} + T_{i,j-1}^m - 2T_{i,j}^m + T_{i,j+1}^m}{2(\Delta Y)^2} + \\ & + \frac{\gamma}{Pr} \left(\frac{T_{i,j+1}^{m+1} - T_{i,j-1}^{m+1} + T_{i,j+1}^m - T_{i,j-1}^m}{4 \Delta Y} \right)^2. \quad (14) \end{aligned}$$

В качестве области интегрирования рассматривается прямоугольник со сторонами $X_{\max} = 1$ и $Y_{\max} = 16$. Граничные условия при Y_{\max} соответствуют граничным условиям на бесконечности. Выбор значения $Y_{\max} = 16$ обусловлен тем, что при этом значении удовлетворяются два последних граничных условия (11). В (12)–(14) индекс i обозначает узел сетки в направлении X , j — в направлении Y , m — в направлении t .

Конечно-разностная система уравнений решается с помощью алгоритма Томаса [27].

3. Результаты исследования и их обсуждение. В расчетах значения параметров потока λ , γ , а также число Прандтля Pr выбирались в следующих интервалах [11, 14]: для воздуха $-0,7 \leq \lambda \leq 0$, $0 \leq \gamma \leq 6$, $Pr = 0,733$, для воды $0 \leq \lambda \leq 0,6$, $0 \leq \gamma \leq 0,12$, $0 \leq Pr \leq 6$.

В таблице приведены значения локального поверхностного трения τ и локального числа Нуссельта Nu при различных значениях числа Прандтля (вязкость и теплопроводность являются постоянными ($\lambda = 0$, $\gamma = 0$)) в точке $X = 1,0$ для стационарного течения, а также результаты работы [4].

На рис. 1–8 показаны профили скорости вдоль координаты Y при $X = 1,0$ и различных значениях параметров вязкости, теплопроводности и числа Прандтля Pr . Видно, что скорость увеличивается, достигает максимального значения ($0 \leq Y \leq 1,5$) и затем постепенно уменьшается до нуля при $Y \rightarrow \infty$. Также замечено, что скорость и температура возрастают с увеличением времени и достигают локального максимума по времени, соответствующего стационарному состоянию.

На рис. 1, 2 представлены профили скорости и температуры вдоль координаты Y при $\gamma = 2$, $Pr = 0,733$. Видно, что скорость со временем возрастает от нуля, достигает максимума $U = 0,469 13$ при $t = 2,18$, а затем уменьшается до значения, соответствующего стационарному состоянию ($U = 0,452 98$ при $t = 3,59$).

На рис. 3, 4 представлены профили скорости и температуры при $\lambda = -0,3$, $Pr = 0,733$. Время, необходимое для достижения стационарного состояния, увеличивается с уменьшением γ . Следует отметить, что с увеличением γ происходит значительное увеличение скорости и температуры.

На рис. 5, 6 представлены профили скорости и температуры при $\gamma = 0,04$, $Pr = 2$ и различных значениях λ . Из результатов численных расчетов следует, что время, необходимое для достижения локального максимума и стационарного состояния, уменьшается с увеличением параметра вязкости λ . Рост параметра вязкости λ приводит к увеличению скорости потока вблизи поверхности конуса, поскольку вязкость воды уменьшается.

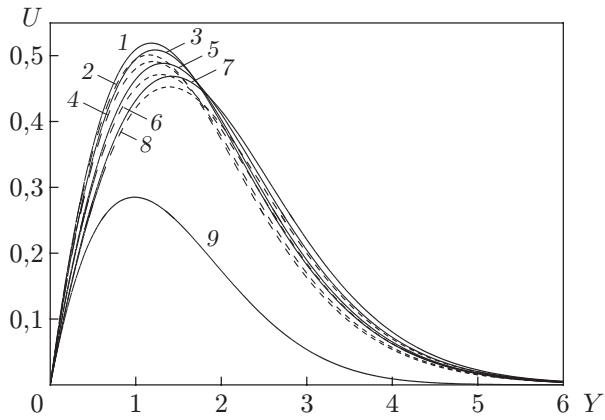


Рис. 1

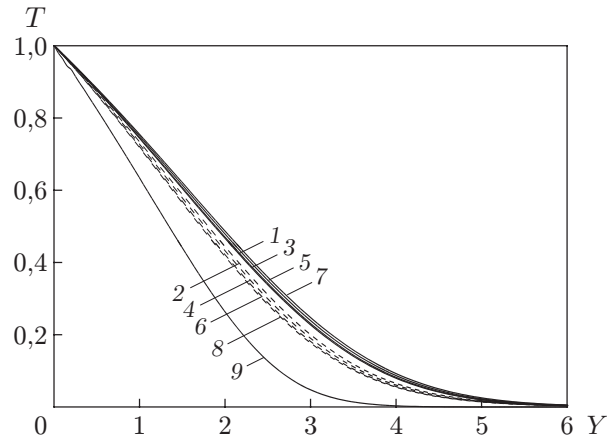


Рис. 2

Рис. 1. Распределения скорости по координате Y при $\gamma = 2$, $Pr = 0,733$ и различных значениях параметров λ, t :

1, 2 — $\lambda = 0$ ($1 - t = 2,09$, $2 - t = 3,44$), 3, 4 — $\lambda = -0,1$ ($3 - t = 2,12$, $4 - t = 3,49$), 5, 6 — $\lambda = -0,3$ ($5 - t = 2,18$, $6 - t = 3,59$), 7, 8 — $\lambda = -0,5$ ($7 - t = 2,24$, $8 - t = 3,68$), 9 — $\lambda = 0$, $t = 0,82$; сплошные линии — неустановившийся режим, штриховые — установившийся режим

Рис. 2. Распределения температуры по координате Y при $\gamma = 2$, $Pr = 0,733$ и различных значениях параметров λ, t :

1, 2 — $\lambda = -0,5$ ($1 - t = 1,80$, $2 - t = 3,68$), 3, 4 — $\lambda = -0,3$ ($3 - t = 1,71$, $4 - t = 3,59$), 5, 6 — $\lambda = -0,1$ ($5 - t = 1,67$, $6 - t = 3,49$), 7, 8 — $\lambda = 0$ ($7 - t = 1,63$, $8 - t = 3,44$), 9 — $\lambda = -0,5$, $t = 0,52$; сплошные линии — неустановившийся режим, штриховые — установившийся режим

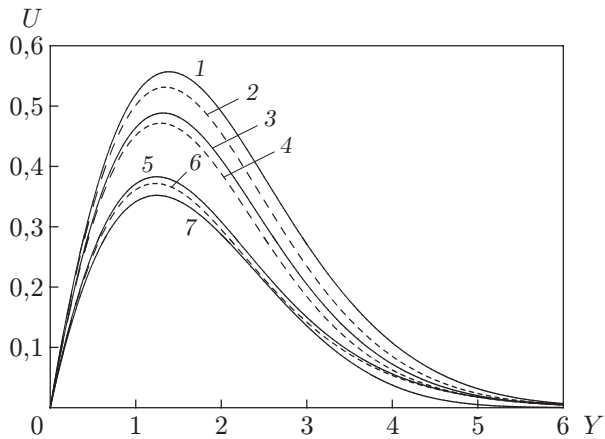


Рис. 3

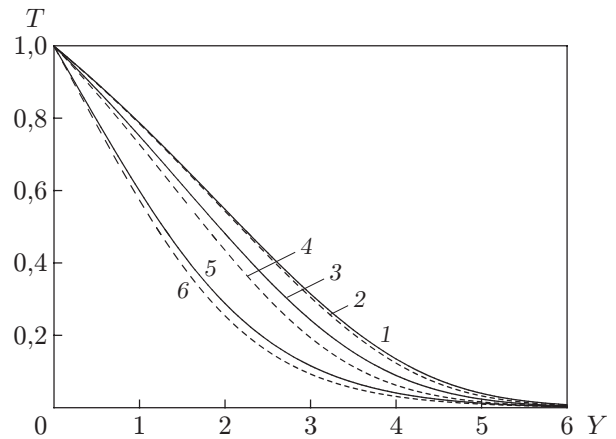


Рис. 4

Рис. 3. Распределения скорости по координате Y при $\lambda = -0,3$, $Pr = 0,733$ и различных значениях параметров γ, t :

1, 2 — $\gamma = 4$ ($1 - t = 1,79$, $2 - t = 3,29$), 3, 4 — $\gamma = 2$ ($3 - t = 2,18$, $4 - t = 3,59$), 5, 6 — $\gamma = 0$ ($5 - t = 2,66$, $6 - t = 3,98$), 7 — $\gamma = 4$, $t = 0,75$; сплошные линии — неустановившийся режим, штриховые — установившийся режим

Рис. 4. Распределения температуры по координате Y при $\lambda = -0,3$, $Pr = 0,733$ и различных значениях параметров γ, t :

1, 2 — $\gamma = 4$ ($1 - t = 2,10$, $2 - t = 3,29$), 3, 4 — $\gamma = 2$ ($3 - t = 1,71$, $4 - t = 3,59$), 5, 6 — $\gamma = 0$ ($5 - t = 2,20$, $6 - t = 3,98$); сплошные линии — неустановившийся режим, штриховые — установившийся режим

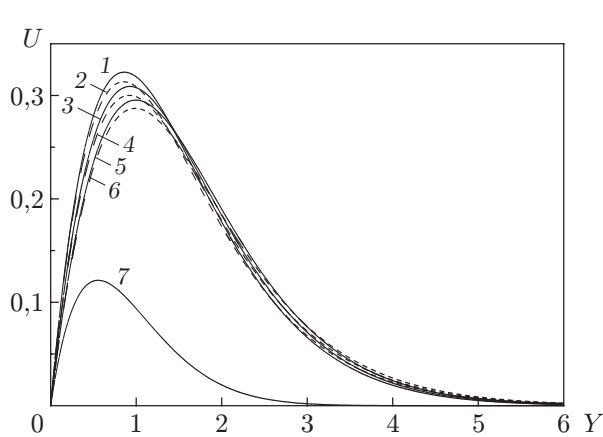


Рис. 5

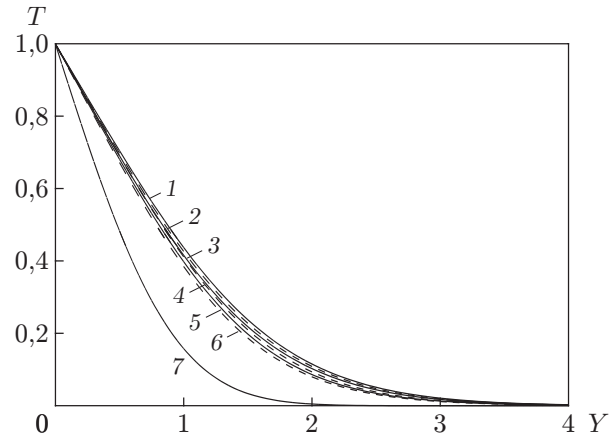


Рис. 6

Рис. 5. Распределения скорости по координате Y при $\gamma = 0,04$, $Pr = 2$ и различных значениях параметров λ , t :

1, 2 — $\lambda = 0,4$ (1 — $t = 2,96$, 2 — $t = 4,71$), 3, 4 — $\lambda = 0,2$ (3 — $t = 3,05$, 4 — $t = 4,78$), 5, 6 — $\lambda = 0$ (5 — $t = 3,18$, 6 — $t = 4,85$), 7 — $\lambda = 0,4$, $t = 0,75$; сплошные линии — неустановившийся режим, штриховые — установившийся режим

Рис. 6. Распределения температуры по координате Y при $\gamma = 0,04$, $Pr = 2$ и различных значениях параметров λ , t :

1, 2 — $\lambda = 0$ (1 — $t = 2,70$, 2 — $t = 4,85$), 3, 4 — $\lambda = 0,2$ (3 — $t = 2,58$, 4 — $t = 4,78$), 5–7 — $\lambda = 0,4$ (5 — $t = 2,49$, 6 — $t = 4,71$, 7 — $t = 0,50$); сплошные линии — неустановившийся режим, штриховые — установившийся режим

Из рис. 5 следует, что максимум скорости достигается вблизи поверхности конуса при больших значениях λ . Это обусловлено тем, что при переменной вязкости ($\lambda > 0$) вблизи нагретой поверхности жидкость движется быстрее, так как при $\lambda > 0$ вязкость жидкости меньше, чем в случае, когда она постоянна.

На рис. 6 видно, что с ростом λ температура уменьшается. Это согласуется с тем фактом, что максимальное значение скорости увеличивается с ростом λ .

На рис. 7, 8 показаны профили скорости и температуры при $\lambda = 0,3$, $Pr = 2$ и различных значениях γ . Видно, что время, необходимое для достижения стационарного состояния, с увеличением значения γ уменьшается. Из рис. 7 следует, что с увеличением γ скорость возрастает. На поверхности конуса теплопроводность не меняется, однако на значительном расстоянии от него она меняется существенно. Кроме того, с увеличением значения γ температура жидкости возрастает.

Важными характеристиками потока являются напряжение сдвига и скорость теплообмена на поверхности конуса.

Локальное напряжение сдвига на поверхности конуса определяется формулой

$$\tau_x = \left(\mu \frac{\partial u}{\partial y} \right) \Big|_{y=0}. \quad (15)$$

Подставляя безразмерные величины из уравнений (5), (6) в (15), получаем выражение для поверхностного трения в безразмерном виде

$$\tau_X = e^{-\lambda} Gr^{3/4} \left(\frac{\partial U}{\partial Y} \right) \Big|_{Y=0}. \quad (16)$$

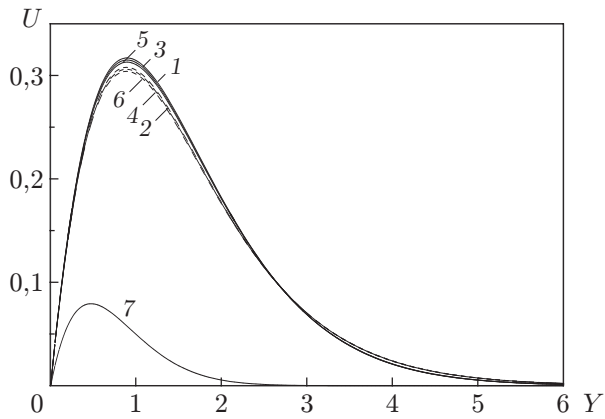


Рис. 7

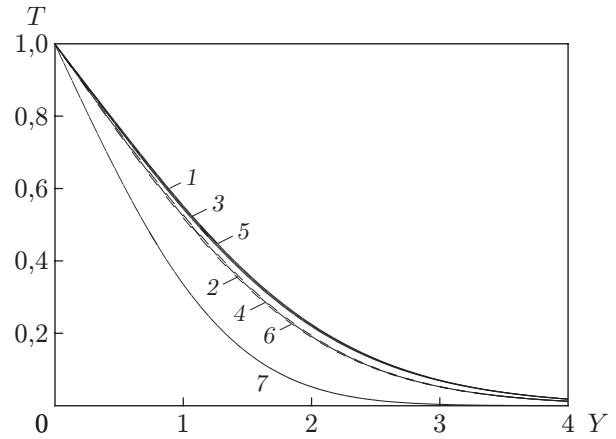


Рис. 8

Рис. 7. Распределения скорости по координате \$Y\$ при \$\lambda = 0,3\$, \$Pr = 2\$ и различных значениях параметров \$\gamma\$, \$t\$:

1, 2 — \$\gamma = 0,06\$ (\$1 - t = 2,99\$, \$2 - t = 4,73\$), 3, 4 — \$\gamma = 0,03\$ (\$3 - t = 3,01\$, \$4 - t = 4,75\$), 5, 6 — \$\gamma = 0\$ (\$5 - t = 3,03\$, \$6 - t = 4,77\$), 7 — \$\gamma = 0,06\$, \$t = 0,50\$; сплошные линии — неустановившийся режим, штриховые — установившийся режим

Рис. 8. Распределения температуры по координате \$Y\$ при \$\lambda = 0,3\$, \$Pr = 2\$ и различных значениях параметров \$\gamma\$, \$t\$:

1, 2 — \$\gamma = 0,06\$ (\$1 - t = 2,51\$, \$2 - t = 4,73\$), 3, 4 — \$\gamma = 0,03\$ (\$3 - t = 2,51\$, \$4 - t = 4,75\$), 5, 6 — \$\gamma = 0\$ (\$5 - t = 2,55\$, \$6 - t = 4,77\$), 7 — \$\gamma = 0,06\$, \$t = 0,60\$; сплошные линии — неустановившийся режим, штриховые — установившийся режим

Уравнение для среднего поверхностного трения в безразмерной форме записывается следующим образом:

$$\bar{\tau} = e^{-\lambda} Gr^{3/4} \int_0^1 \left(\frac{\partial U}{\partial Y} \right) \Big|_{Y=0} dX. \tag{17}$$

Локальное число Нуссельта определяется формулой

$$Nu_x = - \frac{-L}{k_0(T'_w - T'_\infty)} \left(k \frac{\partial T'}{\partial y} \right) \Big|_{y=0}. \tag{18}$$

Подставляя безразмерные переменные из уравнений (5), (7) в (18), получаем выражение для локального числа Нуссельта

$$Nu_X = - Gr^{1/4} (1 + \gamma) \left(\frac{\partial T}{\partial Y} \right) \Big|_{Y=0}. \tag{19}$$

Среднее число Нуссельта определяется формулой

$$\bar{Nu} = -2 Gr^{1/4} (1 + \gamma) \int_0^1 \left(\frac{\partial T}{\partial Y} \right) \Big|_{Y=0} dX. \tag{20}$$

Производные, входящие в уравнения (16), (17), (19), (20), вычисляются по формуле пятиточечной аппроксимации, а интегралы — по замкнутой формуле Ньютона — Котеса.

На рис. 9 приведена зависимость локального поверхностного трения, вычисленного из уравнения (16), от координаты \$X\$ при различных значениях параметров \$\lambda\$, \$\gamma\$, \$Pr\$. Видно,

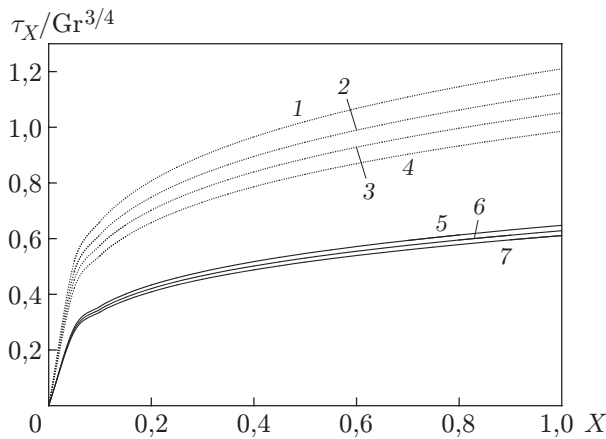


Рис. 9

Рис. 9. Распределения локального поверхностного трения по координате X при различных значениях Pr , γ , λ :

1–4 — $Pr = 0,733$ (1 — $\lambda = -0,5$, $\gamma = 4$; 2 — $\lambda = -0,5$, $\gamma = 2$; 3 — $\lambda = -0,3$, $\gamma = 2$; 4 — $\lambda = -0,1$, $\gamma = 2$), 5–7 — $Pr = 2$ (5 — $\lambda = 0,2$, $\gamma = 0,04$; 6 — $\lambda = -0,3$, $\gamma = 0,3$; 7 — $\lambda = 0$, $\gamma = 0,04$)

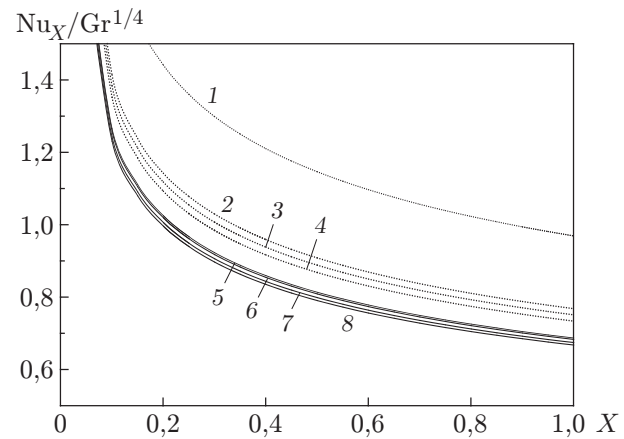


Рис. 10

Рис. 10. Распределения локального числа Нуссельта по координате X при различных значениях Pr , γ , λ :

1–4 — $Pr = 0,733$ (1 — $\lambda = -0,5$, $\gamma = 4$; 2 — $\lambda = -0,5$, $\gamma = 2$; 3 — $\lambda = -0,1$, $\gamma = 2$; 4 — $\lambda = -0,3$, $\gamma = 2$), 5–8 — $Pr = 2$ (5 — $\lambda = 0,2$, $\gamma = 0,04$; 6 — $\lambda = 0,4$, $\gamma = 0,04$; 7 — $\lambda = 0,3$, $\gamma = 0,06$; 8 — $\lambda = 0,3$, $\gamma = 0,03$)

что с увеличением X локальное поверхностное трение возрастает. Заметим, что поверхностный сдвиг уменьшается с увеличением значения параметра вязкости λ . С ростом значения параметра теплопроводности γ локальное поверхностное трение увеличивается. На рис. 10 показана зависимость локального числа Нуссельта от координаты X для стационарного течения при различных значениях параметров λ , γ . Видно, что с увеличением параметров вязкости и теплопроводности локальная скорость теплопереноса увеличивается.

На рис. 11 представлена зависимость средних значений поверхностного трения, вычисленных из уравнения (17), от времени при различных значениях параметров вязкости и теплопроводности для воздуха и воды. Видно, что среднее поверхностное трение увеличивается со временем и через некоторый промежуток времени достигает значения, соответствующего стационарному течению. С увеличением параметра вязкости λ величина среднего поверхностного трения уменьшается, а с увеличением параметра теплопроводности γ — увеличивается. На рис. 12 показана зависимость среднего значения числа Нуссельта от времени. Видно, что при уменьшении λ и γ среднее значение числа Нуссельта уменьшается.

Заключение. Проведено численное исследование ламинарного свободно-конвективного потока жидкости через изотермический вертикальный конус при изменяющихся вязкости и теплопроводности. Предполагалось, что вязкость жидкости изменяется как экспоненциальная функция температуры, а теплопроводность — как линейная функция. Исходные уравнения в безразмерном виде решались с использованием эффективной неявной конечно-разностной схемы Крэнка — Николсона. Проведено сравнение результатов численных расчетов, полученных в настоящей работе, с известными данными. Показано, что они хорошо согласуются. Проведенное исследование позволяет сделать следующие выводы.

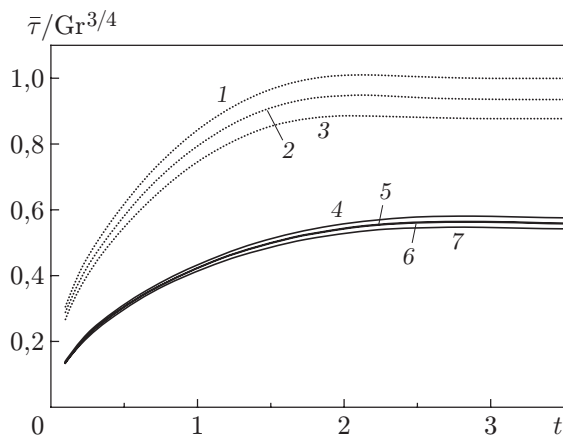


Рис. 11

Рис. 11. Зависимость средних значений поверхностного трения от времени при различных значениях Pr , γ , λ :

1–3 — $Pr = 0,733$ (1 — $\lambda = -0,5$, $\gamma = 2$; 2 — $\lambda = -0,3$, $\gamma = 2$; 3 — $\lambda = -0,1$, $\gamma = 2$),
4–7 — $Pr = 2$ (4 — $\lambda = 0,2$, $\gamma = 0,04$; 5 — $\lambda = 0,3$, $\gamma = 0,03$; 6 — $\lambda = 0,3$, $\gamma = 0,06$; 7 — $\lambda = 0,4$, $\gamma = 0,04$)

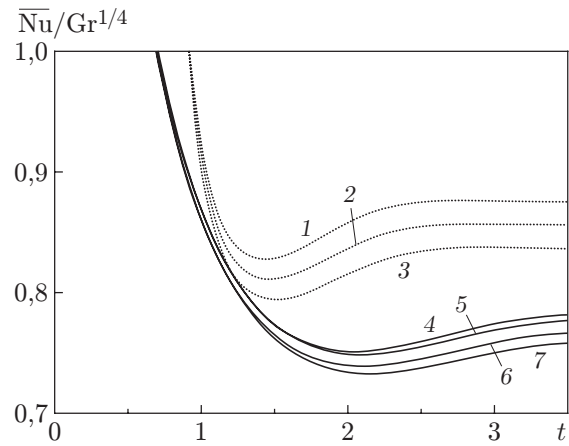


Рис. 12

Рис. 12. Зависимость среднего значения числа Нуссельта от времени при различных значениях Pr , γ , λ :

1–3 — $Pr = 0,733$ (1 — $\lambda = -0,1$, $\gamma = 2$; 2 — $\lambda = -0,3$, $\gamma = 2$; 3 — $\lambda = -0,5$, $\gamma = 2$),
4–7 — $Pr = 2$ (4 — $\lambda = 0,4$, $\gamma = 0,04$; 5 — $\lambda = 0,3$, $\gamma = 0,06$; 6 — $\lambda = 0,3$, $\gamma = 0,03$; 7 — $\lambda = 0,2$, $\gamma = 0,04$)

С увеличением параметра λ (вязкость воздуха уменьшается) скорость U вблизи поверхности конуса возрастает, а на значительном расстоянии от нее уменьшается.

Влияние теплопроводности на скорость и температуру является более существенным в начальный период.

Различие значений локального максимума скорости и максимума скорости, соответствующего стационарному состоянию, возрастает с увеличением параметра теплопроводности γ , однако для профилей температуры наблюдается обратная зависимость.

С ростом параметров вязкости и теплопроводности локальная скорость теплопереноса увеличивается.

Пренебрежение зависимостью вязкости и теплопроводности жидкости от температуры приводит к возникновению существенных погрешностей. Таким образом, для получения более точных результатов расчетов необходимо учитывать эту зависимость.

ЛИТЕРАТУРА

1. Merk H. J., Prins S. J. Thermal convection in boundary layer. 1 // Appl. Sci. Res. 1953. V. 4A. P. 11–24.
2. Merk H. J., Prins S. J. Thermal convection in boundary layer. 2 // Appl. Sci. Res. 1953. V. 4A. P. 195–206.
3. Hering R. G., Grosh R. J. Laminar free convection from a non-isothermal cone // Intern. J. Heat Mass Transfer. 1962. V. 8. P. 1059–1068.
4. Hering R. G. Laminar free convection from a non-isothermal cone at low Prandtl numbers // Intern. J. Heat Mass Transfer. 1965. V. 8. P. 1333–1337.

5. **Alamgir M.** Overall heat transfer from vertical cones in laminar free convection: an approximate method // *Trans. ASME. J. Heat Transfer.* 1989. V. 101. P. 174–176.
6. **Kumar M., Pop I.** Free convection over a vertical rotating cone with constant heat flux // *J. Appl. Mech. Engng.* 1998. V. 3. P. 451–464.
7. **Wang T. T.** General analysis of thermal convection heat transfer on a vertical cone // *J. Chinese Soc. Mech. Engng.* 1991. V. 12. P. 227–232.
8. **Wang T. T., Kleinstreuer C., Chiang H.** Mixed convection from a rotating cone with variable surface temperature // *Numer. Heat Transfer. Pt A.* 1994. V. 25. P. 75–83.
9. **Bapuji Pullepul J., Ekambavannan K., Pop I.** Finite difference analysis of laminar free convection flow past a non isothermal vertical cone // *Heat Mass Transfer.* 2008. V. 44. P. 517–526.
10. **Thandapani E., Ragavan A. R., Palani G.** Finite difference solution of unsteady natural convection flow past a non isothermal cone under the influence of magnetic field and thermal radiation // *J. Appl. Mech. Tech. Phys.* 2012. V. 53, N 2. P. 408–421.
11. **Schlichting H.** *Boundary layer theory.* N. Y.: McGraw Hill, 1979.
12. **Kays W. M.** *Convective heat and mass transfer / W. M. Kays, M. E. Crawford.* N. Y.: McGraw Hill, 1980.
13. **Ockendon H., Ockendon J. R.** Variable-viscosity flows in heated and cooled channels // *J. Fluid Mech.* 1977. V. 83, N 1. P. 177–190.
14. **Elbashbeshy E. M. A., Ibrahim F. N.** Steady free convection flow with variable viscosity and thermal diffusivity along a vertical plate // *J. Phys. D: Appl. Phys.* 1993. V. 26, N 12. P. 2137–2143.
15. **Elbashbeshy E. M. A.** Free convection flow with variable viscosity and thermal diffusivity along a vertical plate in the presence of the magnetic field // *Intern. J. Engng Sci.* 2000. V. 38. P. 207–213.
16. **Elbashbeshy E. M. A., Dimian M. F.** Effect of radiation on the flow and heat transfer over a wedge with variable viscosity // *Appl. Math. Comput.* 2002. V. 132. P. 445–454.
17. **Seddeek M. A.** Effect of variable viscosity on a MHD free convection flow past a semi-infinite at flat plate with an aligned magnetic field in the case of unsteady flow // *Intern. J. Heat Mass Transfer.* 2002. V. 45. P. 931–935.
18. **Wilson S. K., Duffy B. R.** Strong temperature-dependent-viscosity effects on a rivulet draining down a uniformly heated or cooled slowly varying substrate // *Phys. Fluids.* 2003. V. 15, N 4. P. 827–840.
19. **Abo-Eldahab E. M.** The effects of temperature-dependent fluid properties on free convective flow along a semi-infinite vertical plate by the presence of radiation // *Heat Mass Transfer.* 2004. V. 41, N 2. P. 163–169.
20. **Soundalgekar V. M., Takhar H. S., Das U. N., et al.** Effect of variable viscosity on boundary layer flow along a continuously moving plate with variable surface temperature // *Heat Mass Transfer.* 2004. V. 40. P. 421–424.
21. **Seddeek M. A., Abdelmeguid M. S.** Effects of radiation and thermal diffusivity on heat transfer over a stretching surface with variable heat flux // *Phys. Lett. A.* 2006. V. 348, N 3–6. P. 172–179.
22. **Mahmoud M. A. A.** Variable viscosity effects on hydromagnetic boundary layer flow along a continuously moving vertical plate in the presence of radiation // *Appl. Math. Sci.* 2007. V. 1, N 17. P. 799–814.
23. **Tsai R., Huang K. H., Huang J. S.** The effects of variable viscosity and thermal conductivity on heat transfer for hydromagnetic flow over a continuous moving porous plate with Ohmic heating // *Appl. Thermal Engng.* 2009. V. 29. P. 1921–1926.

24. **Alam M. S., Rahman M. M., Sattar M. A.** Transient magnetohydrodynamic free convective heat and mass transfer flow with thermophoresis past a radiate inclined permeable plate in the presence of variable chemical reaction and temperature dependent viscosity // *Nonlinear Anal. Modelling Control*. 2009. V. 14, N 1. P. 3–20.
25. **Palani G., Kwang Yong Kim.** Numerical study on a vertical plate with variable viscosity and thermal conductivity // *Arch. Appl. Mech.* 2010. V. 80. P. 711–725.
26. **Slattery J. C.** *Momentum, energy and mass transfer in continua*. N. Y.: McGraw Hill, 1972.
27. **Carnahan B.** *Applied numerical methods* / B. Carnahan, H. A. Luther, J. O. Wilkes. N. Y.: John Wiley and Sons, 1969.

*Поступила в редакцию 27/III 2014 г.,
в окончательном варианте — 29/IV 2014 г.*
